

Al₂O₃-ZrO₂ 복합체의 강도 및 열충격 저항의 향상에 관한 연구

황규홍 · 배원태 · 최명덕 · 오기동* · 김경운** · 김환**

경상대학교 재료공학과

*부산대학교 무기재료과

**서울대학교 무기재료과

(1988년 3월 4일 접수)

The Study on the Improvement of the Strength and the Thermal Shock Resistance of Al₂O₃-ZrO₂ Composites

K. H. Hwang, W. T. Bae, M. D. Choi, K. D. Oh*, K. U. Kim** and H. Kim**

Gyeongsang Nat'l Univ.

* Pusan Nat'l Univ.

** Seoul Nat'l Univ.

(Received March 4, 1988)

요약

Y₂O₃ 가 ≈ 1 mol. % 고용된 정방정 지르코니아를 알루미나에 20 vol. % 섞어 체조립에 의해 과립으로 만든 다음 여기에 알루미나에 단사정 지르코니아를 10~30 vol. % 섞어 만든 과립을 15~30 vol.%가 되도록 과립형태로 분산시켜 성형 및 소결함으로써 단사정 및 정방정 지르코니아의 분산영역이 서로 다른 불균질 조직의 Al₂O₃-ZrO₂ 복합체를 제조하여 강도 및 열충격 견동을 관찰하였다.

이러한 불균질 조직의 Al₂O₃-ZrO₂ 복합체는 분산 agglomerate 내의 낮은 소결밀도에 의한 기공의 존재, 단사정상에 의한 미세균열, 또 이에 따른 주위에의 압축응력 등이 복합적으로 작용하여 향상된 열충격 견동을 보여 주었다.

ABSTRACT

The strength and thermal shock resistance of Al₂O₃-ZrO₃ composites have been studied.

The tetragonal ZrO₂ powder containing 1 mol.% Y₂O₃ and monoclinic ZrO₂ powder were prepared by coprecipitation method and subsequently mixed with Al₂O₃ powder and granulated by sieving.

Duplex composites were prepared by dry mixing matrix agglomerate with 15 to 30 vol.% of dispersion agglomerate, followed by pressing and sintering at 1600°C for 1 hr.

These Al₂O₃-ZrO₂ composites having heterogeneous structure showed improved thermal shock behaviors because of the microcracking and pores in dispersed granules, and compressive stresses around dispersed granules resulting from ZrO₂ transformation.

I. 서 론

일반적으로 알루미나와 같이 강도가 높은 고밀도 휘성재료는 열충격이 낮은 α Tc(임계온도)를 보이며 임계온도 이상의 열충격을 받으면 강도가 상당히 낮아진다. 이러한 휘성재료의 임계온도를 높이고 또 임계온도 이상의 열충격을 받은 후에도 어느 정도 높은 강도를 유지시키기 위해서는 열충격을 흡수할 수 있는 기공이나 균열을 내부에 존재시키면 되지만 이럴 경우 초기 강도가 낮아진다는 문제점이 있다.^{1~5)}

한편 지르코니아의 정방 \leftrightarrow 단사의 응력유도 상전이를^{6~12)} 이용하여 알루미나에 정방정 지르코니아(tetragonal zirconia, 이하 (t) ZrO₂ 라 표기)를 분산시킨 Al₂O₃-(t) ZrO₂ 복합체는 알루미나 자체보다 높은 강도와 인성을 나타낸다.^{7~12)} 또한 알루미나에 단사정 지르코니아(monoclinic zirconia, 이하 (m) ZrO₂ 라 표기)를 분산시키면 강도는 높지 않지만 미세균열 효과¹³⁾ 때문에 인성 및 열충격 저항이 크게 향상된 Al₂O₃-(m) ZrO₂ 복합체를 제조할 수 있다.

따라서 본 연구에서는 강도와 열충격 저항을 동시에 향상시키기 위하여 알루미나에 정방정 및 단사정 지르코니아를 공존 시키되 그 존재 영역을 서로 다르게 한 복합구조(duplex microstructure)¹⁴⁾의 Al₂O₃-(t) ZrO₂ / Al₂O₃-(m) ZrO₂ 복합체를 제조하여 강도와 열충격 저력을 관찰하였다.

II. 실험방법

II - 1 분말의 제조

ZrOCl₄ · 8 H₂O (Junsei ; chemical pure)에 Y(NO₃)₃ · 5 H₂O (Aldrich)를 0~1 mole. % 첨가하여 0.2 M 수용액에 상태로 만든 다음, NH₄OH를 가하여 침전시켰다. 이 침전물을 Cl⁻ 이온이 완전히 없어질 때까지 뜨거운 증류수로 세척하고 메타놀에 초음파 분산시킨 다음 진조하여 다시 메타놀을 용매로 불밀에서 6시간 분쇄하였다. 분쇄후 재건조시킨 침전물을 600 °C에서 2시간 하소한 다음 메타놀을 분산매로 다시 분쇄하여 가급적 응집이 격은 ZrO₂ 분말을 제조하였다.

이때 Y₂O₃가 침기되지 않은 지르코니아 분말은 X-선 회절 분석 결과 80 % 정도가 단사정 상이었으므로 (m) ZrO₂의 분말로 사용하였으며 Y₂O₃가 1 mol. % 첨가된 지르코니아 분말은 80 % 이상이 정방정 상으로 존재하고 있어 이를 (t) ZrO₂의 분말로 사용하였다.

II - 2 Al₂O₃-(t) ZrO₂ 및 Al₂O₃-(m) ZrO₂ 혼합 과립의 제조

Al₂O₃ (Sumitomo ; AES - 12)에 II - 1에서 제조한 (t) ZrO₂ 분말을 20 vol. % 첨가한 시료에 결합제로 Polyethylene Glycol(PEG, # 400)을 4 wt. % 넣고 이 세톤을 분산매로 ZrO₂ pot mill에서 혼합한 다음 Al₂O₃와 ZrO₂의 비중차이에 의한 분리가 일어나는 것을 방지하기 위하여 잘 저어주면서 80 mesh 체로 체조립하여 80 mesh에서 100 mesh 사이의 과립을 얻었다.

한편 Al₂O₃-(m) ZrO₂ 과립의 경우 Y₂O₃가 고용되지 않은 (m) ZrO₂를 Al₂O₃에 10~30 vol. % 첨가하여 위에서와 같은 방법으로 체조립 하였는데 이 과립들은 칙금과정 중에도 쉽게 부숴지므로(이하 이를 weak agglomerate로 표기) 이 과립 중의 일부를 1300 °C에서 1시간 하소하여 성형시에도 잘 부숴지지 않을 만큼 강한 과립(이하 strong agglomerate로 표기)을 만들어 과립의 강도가 소결체에 미치는 영향을 검토하고자 하였다.

II - 3 시편 제조

II - 2에서 제조한 Al₂O₃-20 vol. % (t) ZrO₂ 과립을 matrix agglomerate로, Al₂O₃-10, 20, 30 vol. % (m) ZrO₂ 과립이 dispersion agglomerate가 되도록 85:15 및 70:30의 부피 비율로 과립들을 섞어 50 × 6 mm의 각 주형 mold에서 30 MPa의 압력으로 1차 성형하고 다시 220 MPa의 압력으로 2차 정수압 성형한 다음 super kantal 전기로에서 1600 °C로 1시간 공기중에서 소결하였다. 소결된 시편들은 밀도측정 및 표면의 X-선 회절 분석을 행하였다.

II - 4 열충격 저항 및 미세구조 관찰

소결된 시편들을 SiC 연마지 # 600으로 시편 길이 방향으로 연마하고 모서리를 rounding 한 다음 수직로 내에 장입하고 4T에 해당하는 온도까지 가열하여 20분간 유지시킨 후 그대로 신속하게 20 °C의 냉각으로 멀어뜨려 열충격을 가하였다. 이 열충격을 받은 시편을 건조한 다음 span 30/10 mm의 4점법으로 꼭강도를 측정하여 열충격 저항을 관찰하였다.

또한 시편의 미세구조를 관찰하기 위하여 # 1000의 SiC 연마지 및 1 μm diamond paste 까지 연마한 다음 1400 °C에서 3시간 thermal etching 하여 SEM 및 광학 현미경으로 관찰하였다.

III. 결과 및 고찰

알루미나에 20 vol. %의 정방정 지르코니아가 분산된 Al₂O₃-20 vol. % (t) ZrO₂ 과립과 알루미나에 30 vol. % 단사정 지르코니아가 분산된 Al₂O₃-30 vol. % (m) ZrO₂ 과립을 부피 비율로 85:15으로 섞어 성

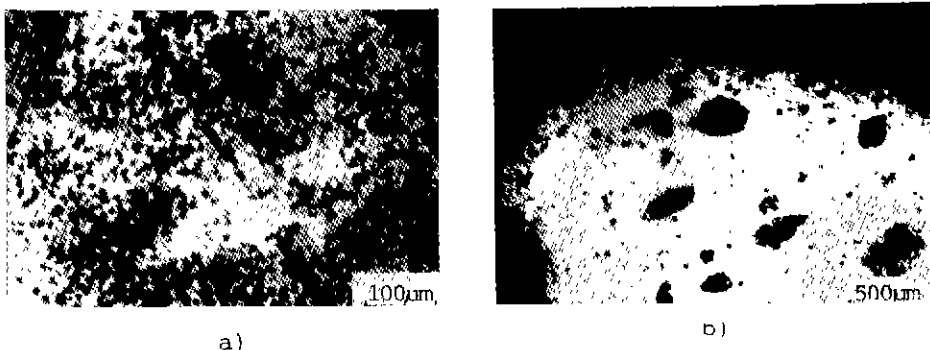


Fig. 1. Optical photographs of $\text{Al}_2\text{O}_3 - \text{ZrO}_2$ duplex composites.
a) Weak agglomerate b) Strong agglomerate.

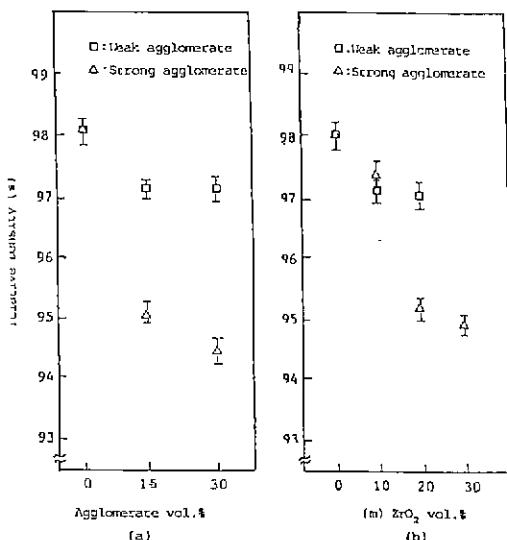


Fig. 2. Relative density of sintered duplex composites as a function of
a) agglomerate contents of Al_2O_3 - 20 vol. %
(m) ZrO_2 in Al_2O_3 - 20 vol. % (t) ZrO_2
b) (m) ZrO_2 contents in 15 vol. % strong
agglomerate-matrix and 30 vol. % weak
agglomerate-matrix.

형 및 소결한 복합체의 광학 현미경 사진을 Fig. 1에 나타내었다. 여기서 a)는 Al_2O_3 -(m) ZrO_2 의 weak agglomerate 가 첨가된 경우인데 matrix 부와 분산부의 구분이 많이 없어진 상태인데 반해 b)의 1300 °C에서 1시간 하소한 strong agglomerate 가 첨가된 경우에는 분산부가 전부 과립의 형태 그대로 존재하고 있음을 볼 수 있다. 또한 Fig. 2의 소결밀도에서 보



Fig. 3. SEM photograph of matrix and dispersion agglomerate.

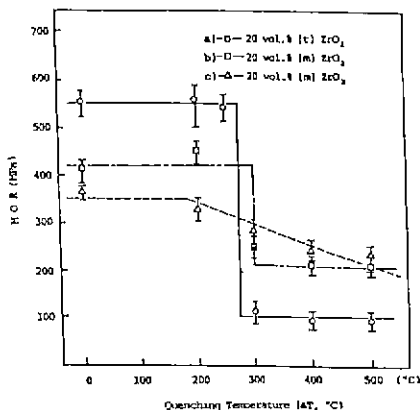


Fig. 4. Thermal shock behaviors of
a) single composite (Al_2O_3 - 20 vol. % (t)
 ZrO_2)
b) duplex composite of 30 vol. % weak
agglomerate (Al_2O_3 - 20 vol. % (m) ZrO_2)
c) duplex composite of 30 vol. % strong
agglomerate (Al_2O_3 - 20 vol. % (m) ZrO_2).

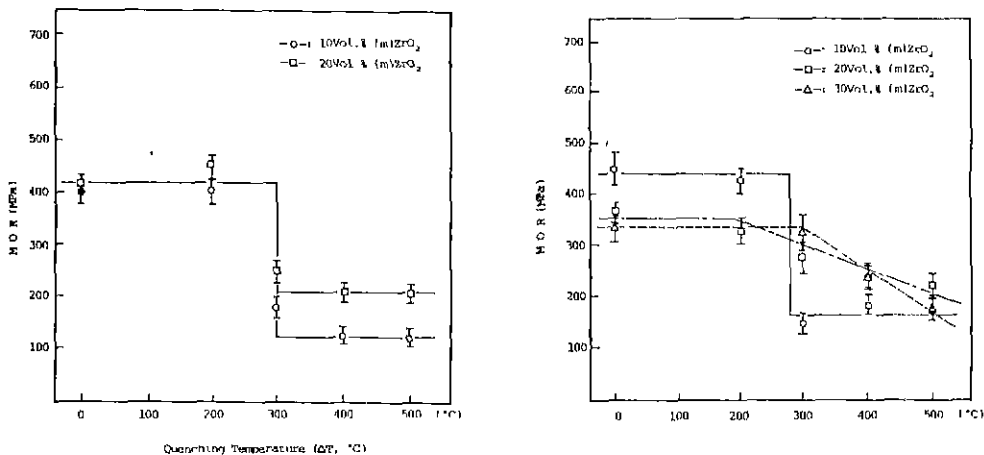


Fig. 5. Thermal shock behaviors of duplex composites as a function of a (m) ZrO_2 contents,
a) in weak agglomerate (Al_2O_3 -30 vol. % (m) ZrO_2)
b) in strong agglomerate (Al_2O_3 -15 vol. % (m) ZrO_2).

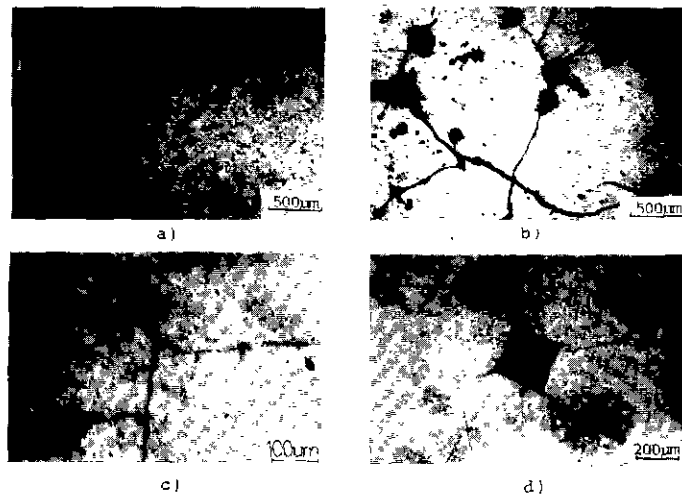


Fig. 6. Optical photographs of
a) Matrix (Al_2O_3 -20 vol. % (t) ZrO_2)
b) Duplex composite (15 vol. % strong agglomerate of Al_2O_3 -30 vol. % (m) ZrO_2)
c) Duplex composite (30 vol. % weak agglomerate of Al_2O_3 -20 vol. % (m) ZrO_2)
d) Indentation mark of duplex composite (15 vol. % strong agglomerate of Al_2O_3 -30 vol. % (m) ZrO_2).

면 strong agglomerate 가 분산되는 경우 Fig. 3 에서 보듯이 분산부의 소결 밀도가 낮기 때문에 분산량에 따라 밀도가 크게 저하 하지만 weak agglomerate 가 첨가되는 경우는 분산부의 형태가 유지되지 않고 있어 밀도의 저하가 별로 일어나지 않고 있음을 볼 수 있다.

이러한 차이는 열충격 거동에 시도 나타나는데 Fig. 4에서 보듯이 weak agglomerate 의 경우 matrix인 Al_2O_3 -20 vol. % (t) ZrO_2 만의 소결체는 초기강도가 약 550 MPa 인데 비해 약 420 MPa 정도로 초기강도는

낮았지만 거의 비슷한 임계온도를 보이고 있으며 특기할만한 것은 임계온도 이상의 열충격을 밟았을 경우에도 약 200 MPa 정도로 높은 강도값을 유지하고 있음을 보여주고 있다. 반면, strong agglomerate 가 분산된 경우에는 초기강도가 약 350 MPa 를 배우 낮았지만 특정한 임계온도 없이 온도차에 따라 점진적으로 강도가 저하됨을 보여주고 있다.

이러한 이유는 strong agglomerate 내부의 낮은 소결밀도, 즉 기공의 존재에 주로 기인하는데¹³⁾ Fig. 5

에서 보듯이 분산 agglomerate 내의 단사정 상을 10 vol. %에서 20 vol. % 및 30 vol. %로 높임으로써 소결밀도를 낮추면(Fig. 2 b) 참조) 임계온도가 없는 열충격 거동을 나타내는 것으로 알 수 있다. 그러나 분산부가 weak agglomerate 일 경우에 보면 분산부 내의 단사정 양이 10 vol. %에서 20 vol. %로 높아지면 밀도 변화는 별로 없었지만(Fig. 2 b) 참조) 임계온도 이상에서의 강도가 훨씬 높아졌음을 볼 수 있어 단사정 상에 의한 미세균열 효과도 열충격 거동에 다소간의 영향을 미치는 것으로 생각된다.¹³⁾

또한 분산부의 밀도가 높은 strong agglomerate의 경우 matrix 부는 (t) ZrO₂ 가 존재하고 소결도 잘 되는데 반해 agglomerate 내부는 과립제조시 1300°C에서 하소 함으로써 초기소결이 먼저 일어나 복합체의 최종 소결 과정에서 치밀화가 어려워 소결도 잘 안되었을 뿐 아니라 빙각시 (t) ZrO₂에서 (m) ZrO₂로의 상변태에 따른 부피 증가로 인해 치밀화된 matrix 부에 압축응력을 줄것으로 생각된다.

이는 Fig. 6 b)에서 보듯이 균열이 대부분 압축응력 때문에 분산 agglomerate 쪽으로 휘면서 branching을 일으킴으로¹⁴⁾ 짐작할 수 있는데 Fig. 6 a)의 matrix 만의 소결체는 균열이 거의 직선적으로 진행하고 Fig. 6 c)의 weak agglomerate에서는 직선적은 아니지만 균열의 branching이 없는 것으로도 알 수 있다.

또한 Fig. 6 d)의 vickers 압흔에서 보듯이 발생한 균열이 agglomerate 쪽으로 휘면서 상대적으로 짧아졌음을 볼 수 있다. 이러한 결과로 미투어 duplex 복합체의 열충격 저항성은 분산부 내의 기공이나 미세균열 및 주위의 압축응력이 복합적으로 작용하여 향상되는 것으로 생각된다.

VI. 결 론

Al₂O₃-20 vol. % (t) ZrO₂의 matrix 영역에 Al₂O₃-10~30 vol. % (m) ZrO₂ 영역을 granule 상으로 분산 존재시켜 불균질한 조직을 갖게한 duplex composite의 강도 및 열충격 형태를 고찰한 결과 다음의 결론을 얻었다.

1) 분산 과립이 weak agglomerate 일 경우 성형시 잘 깨어지므로 분산부의 형태가 잘 유지되지 않았으나 matrix 부 만의 소결체와 비교하여 볼 때 초기 강도는 낮았으나 임계온도는 비슷하였으며, 특히 임계온도 이상의 열충격 강도가 크게 증가하고 있으며 분산부 내의 단사정 상의 양상을 10 vol. %에서 20 vol. %로 증가시켜 보면 밀도나 초기강도, 임계온도는 비슷하지

만 임계온도 이상의 열충격 강도만 크게 증가하여 weak agglomerate의 경우 단사정 상에 의한 미세균열이 열충격 저항의 향상에 주로 기여하는 것으로 생각된다.

2) 분산 과립이 strong agglomerate 일 경우에는 분산부의 낮은 소결밀도, 즉 존재하는 기공 때문에 초기 강도는 낮았지만 특정한 임계온도 없이 강도가 완만히 하락하는 열충격 거동을 보여주고 있었으며 열충격에 의한 균열이 branching을 일으키며 분산 과립쪽으로 휘면서 이 분산과립내에서 사라지는 것으로 부터 콘부피를 갖는 분산과립 주위에 생기는 압축응력도 열충격 저항성의 향상에 일부 기여하는 것으로 생각된다.

『감사의 글』

본 연구는 한국 과학재단의 1986년도 후반기 연구 지원사업의 지원을 받아 행해진 것으로 관계 기관에 감사를 드립니다.

REFERENCES

1. N. Claussen, "Effect of Induced Microcracking on the Fracture Toughness of Ceramics", *Am. Ceram. Soc. Bull.*, 56(6), 559-562 (1977).
2. D.J. Green, "Critical Microstructures for Microcrack in Al₂O₃-ZrO₂ Composites", *J. Am. Ceram. Soc.*, 65(12), 610-614 (1982).
3. D.J. Green, et al., "Microstructural Development in PSZ in the System CaO-ZrO₂", *ibid.*, 57(3), 136-139 (1974).
4. R.D. Smith, et. al., "Influence of Induced Porosity on the Thermal Shock Characteristics of Al₂O₃", *Am. Ceram. Soc. Bull.*, 55 (11), 979-982 (1976).
5. K.T. Faber, "Microcracking Contributions to the Toughness of ZrO₂-Based Ceramics", pp.293-305 in *Science and Technology of Zirconia II*, ed. by N. Claussen et. al., Am. Soc. Inc., Ohio, Columbus (1984).
6. F.F. Lange, "Transformation Toughening: Part I", *J. Mat. Sci.*, 17 (1982).
7. Idem, "Transformation Toughening: Part II", *ibid.*
8. Idem, "Transformation Toughening: Part

- III”, *ibid.*
9. Idem, “Transformation Toughening: Part IV”, *ibid.*
10. T.G. Gupta, et. al., “Stabilization of Tetragonal Phase in Polycrystalline Zirconia”, *J. Mat. Sci.*, 12, 2412-2426 (1977).
11. T.K. Gupta, et. al., “Effect of Stress Induced Phase Transformation on the Properties of Polycrystalline Zirconia Containing Metastable Tetragonal Phase”, *J. Mat. Sci.* 13, 1464-1478 (1978).
12. N. Claussen, “Stress-Induced Transformation of Tetragonal ZrO_2 Particle in Ceramic Matrix”, *J. Am. Ceram. Soc.*, 61(1-2), 85-86 (1978).
13. G. Evans, “Toughening by Monoclinic ZrO_2 ”, *ibid*, 66(5), 328-332 (1983).
14. N. Claussen, “Microstructure Design of Zirconia-Toughened Ceramics (ZTC)”, pp. 325-352 in *Science and Technologie of Zirconia I* (1981).
15. P.F. Becher, “Transient Thermal Stress Behavior in ZrO_2 -Toughened Al_2O_3 ”, *J. Am. Ceram. Soc.*, 64(1), 37-39 (1981).